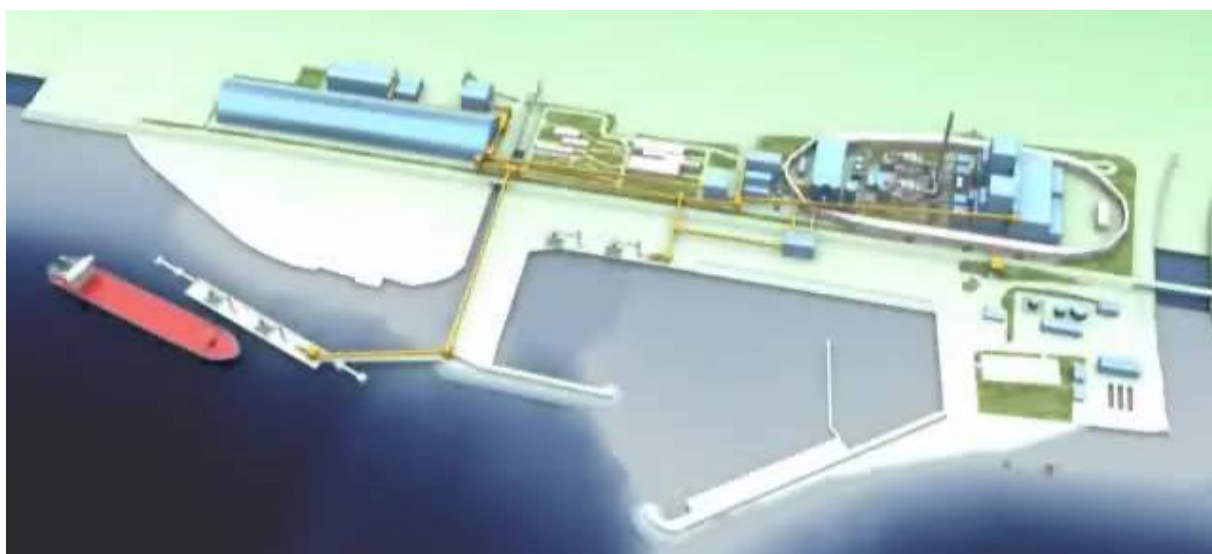


**CENTRALE TERMOELETTRICA A CARBONE DA 2X660 MW<sub>E</sub>  
A SALINE JONICHE (RC)**

**AUTORIZZAZIONE INTEGRATA AMBIENTALE**

***ALLEGATO D6***

**Documentazione presentata per l'Autorizzazione Integrata ambientale ai sensi dell'art.  
10 D. Lgs 152/2006 come modificato dall'art.1 D.Lgs 4 del 18/01/2008**



**CARTOGRAFIA DI BASE UTILIZZATA**

	<b>FORMATO</b>
CTR 1:5.000 Regione Calabria	formato dwg vettoriale
DBPRIOR10K 1:10.000 Regione Calabria	formato shp vettoriale
IGM 1:50.000	formato raster IGM

**CARTOGRAFIA**

<b>Allegati AIA</b>	<b>Tavola</b>	<b>Titolo</b>	<b>Scala</b>
<b>D6</b>	<b>Tavola 17a</b>	Distribuzione spaziale delle concentrazioni massime orarie di SOx ( $\mu\text{g}/\text{m}^3$ ) per lo scenario di progetto	1:100.000
<b>D6</b>	<b>Tavola 17b</b>	Distribuzione spaziale del 99,7 percentile delle concentrazioni massime orarie di SOx ( $\mu\text{g}/\text{m}^3$ ) per lo scenario di progetto	1:100.000
<b>D6</b>	<b>Tavola 17c</b>	Distribuzione spaziale delle concentrazioni massime giornaliere di SOx ( $\mu\text{g}/\text{m}^3$ ) per lo scenario di progetto	1:100.000
<b>D6</b>	<b>Tavola 17d</b>	Distribuzione spaziale delle concentrazioni medie annue di SOx ( $\mu\text{g}/\text{m}^3$ ) per lo scenario di progetto	1:100.000
<b>D6</b>	<b>Tavola 18a</b>	Distribuzione spaziale delle concentrazioni massime orarie di NOx ( $\mu\text{g}/\text{m}^3$ ) per lo scenario di progetto	1:100.000
<b>D6</b>	<b>Tavola 18b</b>	Distribuzione spaziale del 99,8 percentile delle concentrazioni orarie di NOx ( $\mu\text{g}/\text{m}^3$ ) per lo scenario di progetto	1:100.000
<b>D6</b>	<b>Tavola 18c</b>	Distribuzione spaziale delle concentrazioni massime giornaliere di NOx ( $\mu\text{g}/\text{m}^3$ ) per lo scenario di progetto	1:100.000
<b>D6</b>	<b>Tavola 18d</b>	Distribuzione spaziale delle concentrazioni medie annue di NOx ( $\mu\text{g}/\text{m}^3$ ) per lo scenario di progetto	1:100.000
<b>D6</b>	<b>Tavola 19a</b>	Distribuzione spaziale delle concentrazioni massime orarie di CO ( $\mu\text{g}/\text{m}^3$ ) per lo scenario di progetto	1:100.000
<b>D6</b>	<b>Tavola 19b</b>	Distribuzione spaziale delle concentrazioni medie annue di CO ( $\mu\text{g}/\text{m}^3$ ) per lo scenario di progetto	1:100.000
<b>D6</b>	<b>Tavola 20a</b>	Distribuzione spaziale delle concentrazioni massime giornaliere di PM10 ( $\mu\text{g}/\text{m}^3$ ) per lo scenario di progetto	1:100.000
<b>D6</b>	<b>Tavola 20b</b>	Distribuzione spaziale delle concentrazioni medie annue di PM10 ( $\mu\text{g}/\text{m}^3$ ) per lo scenario di progetto	1:100.000
<b>D6</b>	<b>Tavola 21a</b>	Distribuzione spaziale delle concentrazioni massime giornaliere di PM2,5 ( $\mu\text{g}/\text{m}^3$ ) per lo scenario di progetto	1:100.000
<b>D6</b>	<b>Tavola 21b</b>	Distribuzione spaziale delle concentrazioni medie annue di PM2,5 ( $\mu\text{g}/\text{m}^3$ ) per lo scenario di progetto	1:100.000
<b>D6</b>	<b>Tavola 22a</b>	Distribuzione spaziale delle concentrazioni medie annue di Pb ( $\mu\text{g}/\text{m}^3$ ) per lo scenario di progetto	1:100.000
<b>D6</b>	<b>Tavola 22b</b>	Distribuzione spaziale delle deposizioni totali annuali di Pb ( $\text{mg}/\text{m}^2$ ) per lo scenario di progetto	1:100.000
<b>D6</b>	<b>Tavola 23a</b>	Distribuzione spaziale delle concentrazioni medie annue di Ni ( $\mu\text{g}/\text{m}^3$ ) per lo scenario di progetto	1:100.000
<b>D6</b>	<b>Tavola 23b</b>	Distribuzione spaziale delle deposizioni totali annuali di Ni ( $\text{mg}/\text{m}^2$ ) per lo scenario di progetto	1:100.000
<b>D6</b>	<b>Tavola 24a</b>	Distribuzione spaziale delle concentrazioni medie annue di As ( $\mu\text{g}/\text{m}^3$ ) per lo scenario di progetto	1:100.000
<b>D6</b>	<b>Tavola 24b</b>	Distribuzione spaziale delle deposizioni totali annuali di As ( $\text{mg}/\text{m}^2$ ) per lo scenario di progetto	1:100.000
<b>D6</b>	<b>Tavola 25a</b>	Distribuzione spaziale delle concentrazioni medie annue di Cd ( $\mu\text{g}/\text{m}^3$ ) per lo scenario di progetto	1:100.000

<b>Allegati AIA</b>	<b>Tavola</b>	<b>Titolo</b>	<b>Scala</b>
<b>D6</b>	<b>Tavola 25b</b>	Distribuzione spaziale delle deposizioni totali annuali di Cd (mg/m <sup>2</sup> ) per lo scenario di progetto	1:100.000
<b>D6</b>	<b>Tavola 26</b>	Distribuzione spaziale delle concentrazioni medie annue di Hg (µg/m <sup>3</sup> ) per lo scenario di progetto	1:100.000
<b>D6</b>	<b>Tavola 27</b>	Distribuzione spaziale delle concentrazioni medie annue di NH <sub>3</sub> (µg/m <sup>3</sup> ) per lo scenario di progetto	1:100.000
<b>D6</b>	<b>Tavola 28a</b>	Distribuzione spaziale delle concentrazioni medie annue di PM <sub>10</sub> emesso dalle sorgenti minori (µg/m <sup>3</sup> ) per lo scenario di progetto	1:15.000
<b>D6</b>	<b>Tavola 28b</b>	Distribuzione spaziale delle concentrazioni medie annue cumulative di PM <sub>10</sub> emesso dai camini e dalle sorgenti minori (µg/m <sup>3</sup> ) per lo scenario di progetto	1:15.000
<b>D6</b>	<b>Tavola 28c</b>	Distribuzione spaziale delle concentrazioni massime giornaliere di PM <sub>10</sub> emesso dalle sorgenti minori (µg/m <sup>3</sup> ) per lo scenario di progetto	1:15.000
<b>D6</b>	<b>Tavola 28d</b>	Distribuzione spaziale delle concentrazioni massime giornaliere cumulative di PM <sub>10</sub> emesso dai camini e dalle sorgenti minori (µg/m <sup>3</sup> ) per lo scenario di progetto	1:15.000
<b>D6</b>	<b>Tavola 29a</b>	Distribuzione spaziale delle concentrazioni medie annue di PM <sub>2,5</sub> emesso dalle sorgenti minori (µg/m <sup>3</sup> ) per lo scenario di progetto	1:15.000
<b>D6</b>	<b>Tavola 29b</b>	Distribuzione spaziale delle concentrazioni medie annue cumulative di PM <sub>2,5</sub> emesso dai camini e dalle sorgenti minori (µg/m <sup>3</sup> ) per lo scenario di progetto	1:15.000